

## บทที่ 3 วิธีการดำเนินงานวิจัย

การดำเนินงานวิจัยนี้ได้ทำการศึกษาระบบการยับยั้งเชื้อแบคทีเรียในน้ำที่ก่อให้เกิดโรคต่างๆ โดยใช้พลังงานรังสีอาทิตย์ (Solar energy) ในการยับยั้งเชื้อแบคทีเรีย ร่วมกับรางรวมแสงรูปประกอบพาราโบลา (Compound parabolic concentrator, CPC) เพื่อทำการรวมแสงแล้วสะท้อนไปยังรีแอกเตอร์ ระบบจะมีประสิทธิภาพสูงขึ้นเมื่อทำการออกแบบรีแอกเตอร์แบบมี  $\text{TiO}_2$  โดยงานวิจัยนี้ได้ศึกษาข้อมูลเกี่ยวกับสมบัติของน้ำ เชื้อจุลินทรีย์ในน้ำ การวัดปริมาณเชื้อจุลินทรีย์ รวมทั้งด้านการออกแบบและสร้างตัวรวมรังสีรูปประกอบพาราโบลา ทดสอบระยะเวลาในการยับยั้งหรือการยับยั้งเชื้อแบคทีเรียในน้ำที่เตรียมไว้ พัฒนาแบบจำลองทางคณิตศาสตร์ของการกระจายอนุกรมแบบภาวะคงตัวสรุปและวิเคราะห์ผลและในงานวิจัยนี้ดำเนินตามขั้นตอนการวิจัยดังรูปที่ 3.1

### 3.1 ขั้นตอนการวิจัย

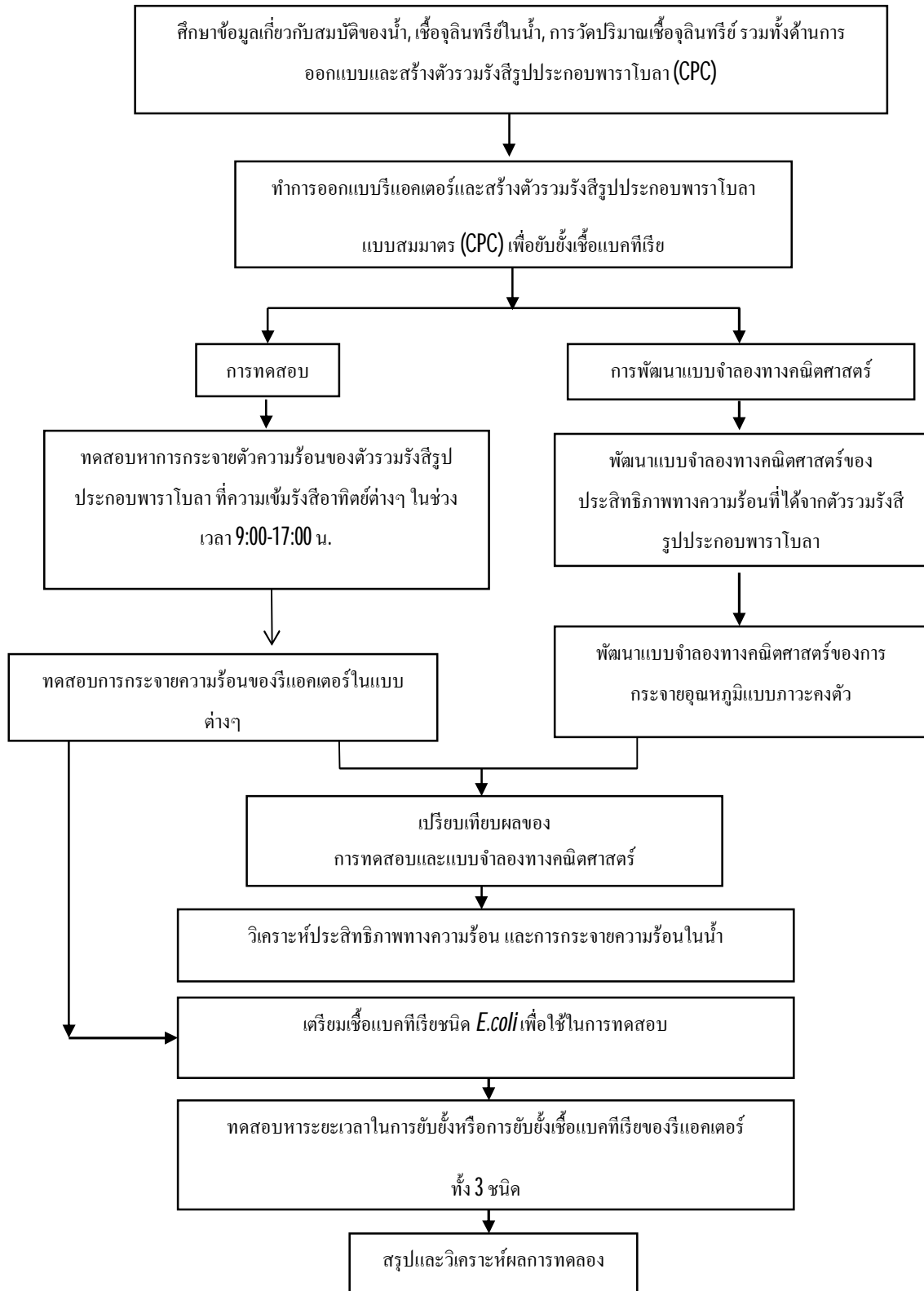
ในการทำงานวิจัยนี้ ต้องได้ผลบรรลุตามวัตถุประสงค์คือ

3.1 ศึกษาออกแบบและสร้างตัวรวมรังสีรูปประกอบพาราโบลาแบบสมมาตร (CPC)

3.2 ศึกษาระยะเวลาการกำจัดเชื้อ *E. coli* ด้วยกระบวนการโฟโตคาตาไลซิส โดยใช้  $\text{TiO}_2$  ที่ความเข้มรังสีอาทิตย์และอนุกรมที่ระดับต่างๆ

3.3 ศึกษาการเติมอากาศบนผิวน้ำ

3.4 เพื่อสร้างแบบจำลองทางคณิตศาสตร์ในการถ่ายโอนความร้อนในระบบ



รูปที่ 3.1 แผนภูมิขั้นตอนการวิจัย

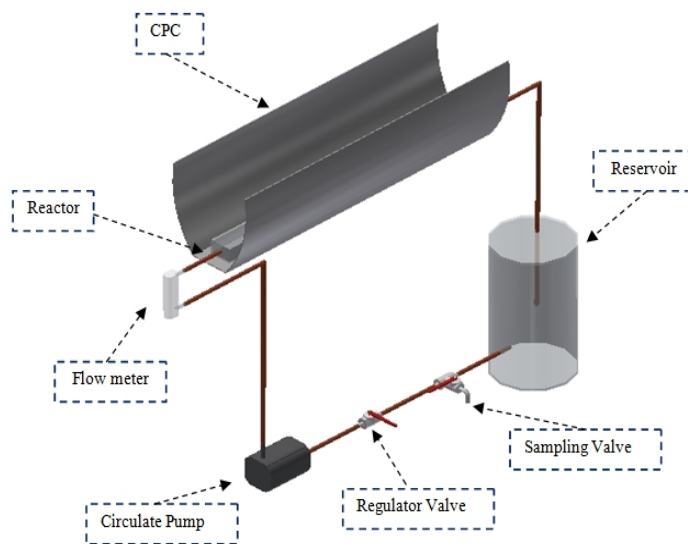
## 3.2 การทดสอบระบบ

การทดสอบระบบในวิทยานิพนธ์นี้มีส่วนประกอบหลักดังนี้

1. การทดสอบการยับยั้งเชื้อแบคทีเรีย เป็นการทดสอบเพื่อหาประสิทธิภาพของการยับยั้งเชื้อแบคทีเรียในรูปแบบต่างๆ
2. การเติมอากาศของระบบการไหลเป็นการทดสอบเพื่อหาการถ่ายเทอากาศไปสู่น้ำเพื่อนำไปประยุกต์ใช้กับระบบบำบัดน้ำเสีย
3. การสร้างแบบจำลองทางคณิตศาสตร์ เพื่อนำผลที่ได้ไปทำนายอุณหภูมิที่เกิดขึ้นจากการรับรังสีอาทิตย์

### 3.2.1 การทดสอบการยับยั้งเชื้อแบคทีเรีย

การทดลองได้ดำเนินการที่มหาวิทยาลัยเทคโนโลยีพระจอมเกล้าธนบุรี ( $13^{\circ} 45' N 100^{\circ} 31' E$ ) โดยทำการทดสอบในช่วงเวลาที่แตกต่างกันของแต่ละการทดลอง โดยจะทำการวัดค่ารังสีอาทิตย์เพื่อคำนวณหาความเข้มรังสีที่สามารถยับยั้งเชื้อแบคทีเรียได้



รูปที่ 3.2 การทดลองการยับยั้งเชื้อแบคทีเรีย

การทดลองนี้ได้ทำการออกแบบ โดยการติดตั้งวาล์วเก็บตัวอย่างการทดลองเพื่อนำเชื้อที่ได้ออกมา นับความเข้มข้นของเชื้อแบคทีเรีย และมีวาล์วปรับอัตราการไหลของน้ำเพื่อวิเคราะห์ระยะเวลาที่เชื้อแบคทีเรียรับพลังงานรังสีอาทิตย์ โดยจะใช้ปั๊มน้ำเป็นตัวทำให้น้ำหมุนเวียนในระบบ การออกแบบนี้ยังได้ติดตั้งเครื่องวัดอัตราการไหลเพื่อวัดการไหลของน้ำผ่านรางรวมแสงรูปประกอบพาราโบลา (CPC) ลงไปสู่ถังน้ำที่สามารถจุปริมาณน้ำได้ 7.5 ลิตร การทดลองนี้ได้มีการติดตั้งสายเทอโมคัปเปิ้ลเพื่อวัดอุณหภูมิของน้ำที่เกิดขึ้นจากการทดลอง การทดลองนั้นเริ่มจากการเปิดปั๊มน้ำจากนั้นปริมาณของน้ำในแต่ละการทดลองมีจำนวน 6 ลิตร และการไหลของน้ำจะเริ่มจากถังน้ำไปยังวาล์วเก็บตัวอย่างเชื้อแบคทีเรีย, วาล์วควบคุมอัตราการไหล ปั๊ม เครื่องวัดอัตราการไหล รีแอกเตอร์ทั้ง 4 และไหลกลับคืนไปยังถังน้ำ (รูปที่ 3.2) โดยจะเก็บตัวอย่างของเชื้อแบคทีเรียที่ทำการทดลองทุกๆ 15 นาที เพื่อทำการวัดผลของเชื้อแบคทีเรียที่ลดลง ลักษณะการทดลองได้ถูกนำเสนอใน ตารางที่ 1

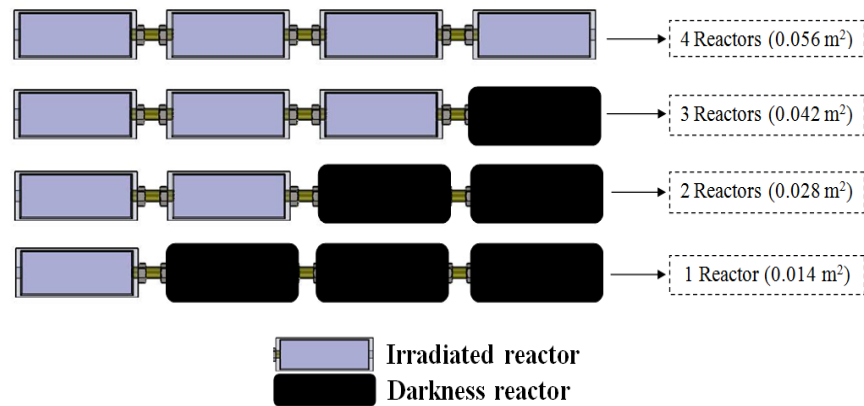
### ตารางที่ 3.1 ลักษณะการทดลอง

พื้นที่รับรังสีอาทิตย์	0.014 m <sup>2</sup>	0.028 m <sup>2</sup>	0.042 m <sup>2</sup>	0.056 m <sup>2</sup>
จำนวนรีแอกเตอร์	1	2	3	4
ปริมาณน้ำที่ทดลอง	6 liters			
อัตราการไหล	2 liters/min			
ระยะเวลาที่ทดลอง	90 min			

### 3.2.2 การทดลองการยับยั้งเชื้อแบคทีเรียของพื้นผิวของรีแอกเตอร์โดยการรับรังสีอาทิตย์

การยับยั้งเชื้อแบคทีเรียด้วยพลังงานรังสีอาทิตย์ได้ทดลองให้เห็นถึงการยับยั้งเชื้อแบคทีเรียของพื้นผิวรีแอกเตอร์ในขนาดพื้นที่ต่างกันคือ 0.014 , 0.028, 0.042, 0.056 m<sup>2</sup> เพื่อวิเคราะห์หาประสิทธิภาพของการยับยั้งแบคทีเรีย ในการทดลองได้วาง 4 รีแอกเตอร์ต่อกันดังรูปที่ 3.3 ซึ่งแต่ละรีแอกเตอร์มีพื้นที่เท่ากัน แต่การทดลองนั้นจะใช้แผ่นพลาสติกสีดำปิดพื้นที่ของการรับรังสีอาทิตย์ เพื่อทดลองหาประสิทธิภาพของการยับยั้งเชื้อแบคทีเรียของพื้นที่ที่มีความแตกต่างกัน การทดลองที่ 1 ทดลองโดยไม่มี TiO<sub>2</sub> เพื่อวิเคราะห์หาอัตราการยับยั้งเชื้อแบคทีเรียของรังสีอาทิตย์ การทดลองที่ 2 ทดลองโดยประยุกต์ใช้พื้นผิวสีดำของรีแอกเตอร์เพื่อดูดซับโฟตอนจากรังสีอาทิตย์ การทดลองที่ 3 ได้ประยุกต์ใช้ TiO<sub>2</sub> เพื่อยับยั้งเชื้อแบคทีเรียด้วยกระบวนการโฟโตแคตาไลซิส การทดลองทั้งหมดได้ทดลองในเงื่อนไขเดียวกันเพื่อหาประสิทธิภาพ

ของจำนวนพื้นผิวของรีแอกเตอร์ที่มีต่ออัตราการยับยั้งเชื้อแบคทีเรีย นอกจากนี้การทดลองได้ดำเนินการหาผลการยับยั้งเชื้อแบคทีเรียจากความเข้มข้นสียาทิตย์บนพื้นผิวรีแอกเตอร์ในแต่ละเงื่อนไข



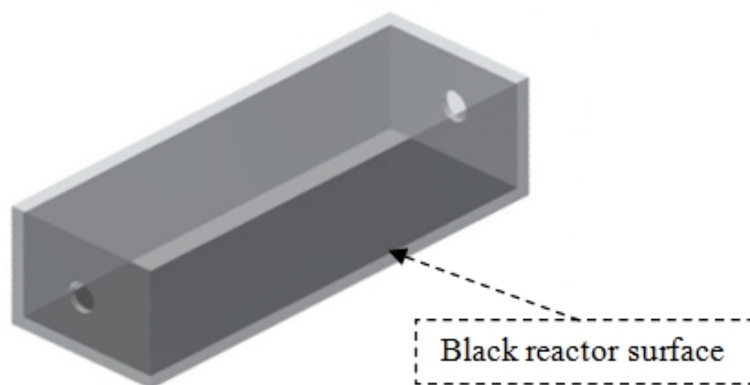
รูปที่ 3.3 พื้นผิวรีแอกเตอร์รับรังสีอาทิตย์

### 3.3 การออกแบบรีแอกเตอร์และสร้างตัวรวมรังสีรูปประกอบพาราโบลา

การออกแบบรีแอกเตอร์นั้นได้แบ่งออกเป็น 3 ประเภทเพื่อนำมาทดสอบหาประสิทธิภาพการยับยั้งเชื้อในแต่ละกรณี และการออกแบบตัวรวมรังสีรูปประกอบพาราโบลานั้นได้ถูกออกแบบเป็นชนิดเป่ารังสีอาทิตย์แบบเบนราบเพื่อให้สอดคล้องกับรีแอกเตอร์ที่ได้ออกแบบ โดยมีรายละเอียดของรีแอกเตอร์และร่างรวมแสงรูปประกอบพาราโบลาดังนี้

#### 3.3.1 การออกแบบรีแอกเตอร์และรีแอกเตอร์พื้นผิวดำ

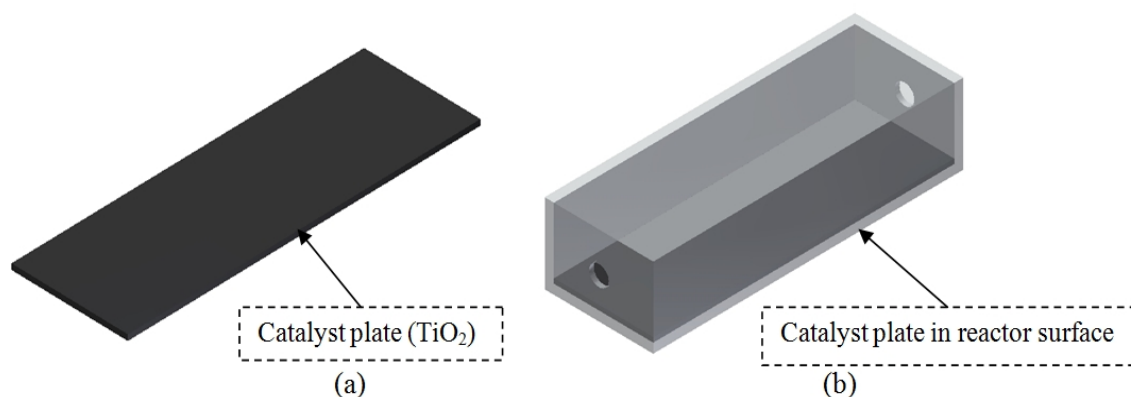
การออกแบบนี้ใช้แผ่นกระจกขนาด  $7 \times 20$  ซม. และ  $7 \times 5$  ซม. มีความหนา 6 มม. มาประกอบเป็นรีแอกเตอร์และรีแอกเตอร์พื้นผิวดำ โดยรีแอกเตอร์พื้นผิวดำได้รับการพ่นด้วยสเปรย์อะคริลิกสีดำ (TOA) บนแผ่นด้านล่างของกระจก จากนั้นนำทุกด้านของแผ่นกระจกมาประกอบเป็นรีแอกเตอร์ เพื่อนำไปประยุกต์ใช้ในการยับยั้งเชื้อแบคทีเรียในน้ำในกรณีรีแอกเตอร์พื้นผิวดำ (รูปที่ 3.4)



รูปที่ 3.4 รีแอกเตอร์พื้นผิวดำ

### 3.3.2 การออกแบบรีแอกเตอร์พื้นผิวเคลือบ $\text{TiO}_2$

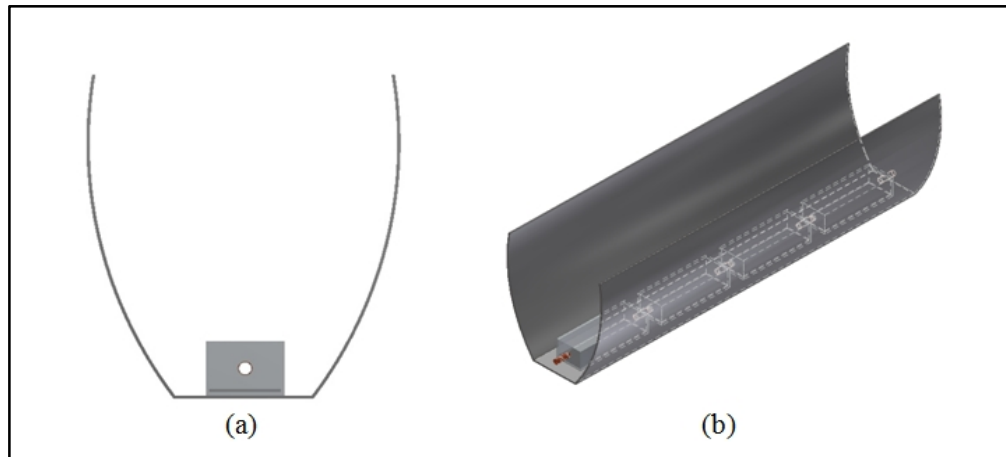
การออกแบบรีแอกเตอร์ที่เคลือบ  $\text{TiO}_2$  เพื่อวิเคราะห์ถึงประสิทธิภาพของการยับยั้งเชื้อแบคทีเรียด้วยกระบวนการโฟโตแคตาไลซิส โดยเคลือบ  $\text{TiO}_2$  บนแผ่นสแตนเลส โดยใช้วิธีสเปรย์ด้วยความร้อน โดยเคลือบบนแผ่นสแตนเลสขนาด  $7 \times 20$  ซม. ความหนา 3 มม. (รูปที่ 3.5a) โดยทำความสะอาดผิวแผ่นสแตนเลส โดยการเป่าด้วยทรายเพื่อให้ผิวเรียบก่อนเคลือบ  $\text{TiO}_2$  ด้วยสเปรย์ความร้อน โดยวิธีการนี้ใช้  $\text{TiO}_2$  (Amperit) ฟ้นลงบนแผ่นสแตนเลสที่อุณหภูมิสูงและกระแสไฟฟ้าสูงเพื่อเคลือบตัวเร่งปฏิกิริยาบนแผ่น ซึ่งเคลือบให้มีความหนา 3 นาโนเมตร หลังจากนั้นนำแผ่นสแตนเลสมาวางด้านล่างของรีแอกเตอร์เพื่อรับพลังงานรังสีอาทิตย์ (รูปที่ 3.5b) เพื่อประยุกต์ใช้  $\text{TiO}_2$  ในการยับยั้งเชื้อแบคทีเรียด้วยกระบวนการโฟโตแคตาไลซิส



รูปที่ 3.5 (a) แผ่นสแตนเลสที่เคลือบ  $\text{TiO}_2$  (b) รีแอกเตอร์ที่เคลือบ  $\text{TiO}_2$

### 3.3.3 การออกแบบรางรวมแสงรูปประกอบพาราโบลา

การออกแบบรางรวมแสงรูปประกอบพาราโบลาได้นำรีแอกเตอร์วางอยู่ใน CPC ในทิศทางเหนือ-ใต้ ที่พื้นเอียง  $14^\circ$  ละติจูด โดยใช้วัสดุแผ่นสแตนเลสขัดเงาเพื่อให้เกิดการสะท้อนของแสงที่ตกกระทบ การออกแบบ CPC แบบเป่ารับแสงเบนเรียบดังแสดงในรูปที่ 3.3a เพื่อความเหมาะสมกับการวางรีแอกเตอร์ในการทดลอง ซึ่งการออกแบบนี้เพื่อรวมรังสีอาทิตย์ลงบนรีแอกเตอร์ทั้ง 4 ที่วางต่อกันดังรูปที่ 3.3b



รูปที่ 3.6 (a) CPC แบบเป่ารับแสงเบนราบ (b) รีแอกเตอร์ใน CPC

การออกแบบ CPC ชนิดนี้โดยการกำหนดขนาดความกว้างของเป่ารับรังสีและคำนวณพารามิเตอร์ทั้งหมดของ CPC ตามเงื่อนไขสมการที่ 3.1- 3.3 [21]

$$H = \frac{a}{2} \left( \frac{1}{\tan \theta_c} + \frac{1}{\tan \theta_c \sin \theta_c} \right) \quad (3.1)$$

$$f = \frac{a}{2} (1 + \sin \theta_c) \quad (3.2)$$

$$x^2 = 4fy \quad (3.3)$$

$H$  คือ ความสูงของ CPC,  $a$  คือเป่ารับรังสี,  $\theta_c$  คือ การมุมรับรังสี และ  $f$  เป็นจุดโฟกัสของส่วนโค้งพาราโบลา การทดลองนี้ได้ทดสอบที่กรุงเทพฯ ดังนั้น  $\theta_c$  ถูกกำหนดให้เป็น  $21^\circ$  และความกว้างของเป่ารับรังสีอาทิตย์กำหนดให้เป็น 12.5 ซม. ดังนั้นคำนวณจากสมการ (3.1) (3.2) และ (3.3) จะได้ความสูงของ CPC เป็น 0.617 m และระยะโฟกัสของรูปโค้งเป็น 0.084 เมตร CPC ยังได้รับการออกแบบการตัดความ

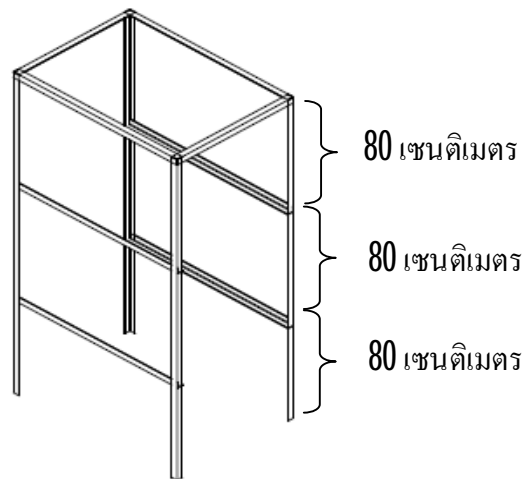
สูงลงเพื่อลดค่าวัสดุและยังเพิ่มเวลาการรับรังสีอาทิตย์ จากการคำนวณทั้งหมดได้ขนาดของ CPC ขนาด  $61.7 \times 12.5 \times 100$  เซนติเมตร

### 3.4 การออกแบบการทดลองเครื่องเติมอากาศ

เครื่องเติมอากาศนั้นมีอยู่หลายลักษณะ แต่เครื่องเติมอากาศนี้ได้ถูกออกแบบให้เติมอากาศบนผิวน้ำเพื่อนำไปประยุกต์ใช้กับการทดลองการยับยั้งเชื้อแบคทีเรียด้วยพลังงานรังสีอาทิตย์แล้วนำเชื้อแบคทีเรียที่ผ่านการยับยั้งเชื้อแบคทีเรียด้วยพลังงานรังสีอาทิตย์ในรางรวมแสงรูปประกอบพาราโบลามาเติมอากาศเพื่อที่จะนำไปประยุกต์ใช้กับการบำบัดน้ำเสีย

#### 3.4.1 การออกแบบขาตั้งถาดเติมอากาศ

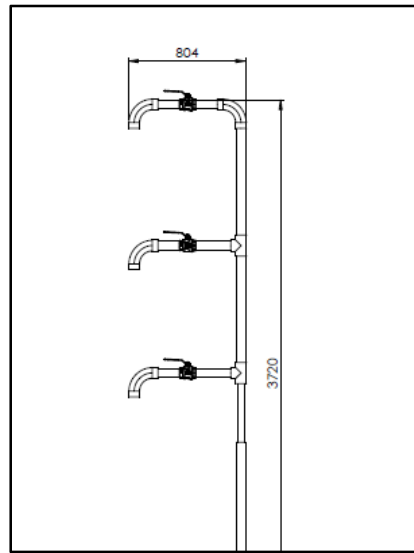
การออกแบบนี้จะใช้วิธีการทดลองโดยการเปลี่ยนความสูงของถาดเติมอากาศจากระดับผิวน้ำ โดยจะทำการสร้างการวางถาดเติมอากาศอยู่ทั้งหมด 3 ชั้น เพื่อที่จะทดสอบหาอัตราการถ่ายเทอากาศที่ระดับต่างๆ โดยการออกแบบให้ระยะห่างของแต่ละชั้นห่างกัน 80 ซม. และมีขนาด  $80 \times 120 \times 225$  ซม. เพื่อรองรับถาดเติมอากาศดังรูปที่ 3.7



รูปที่ 3.7 ขาตั้งถาดเติมอากาศในน้ำ

### 3.4.2 การออกแบบท่อปล่อยน้ำลงภาคเติมอากาศ

การออกแบบท่อปล่อยน้ำลงในภาคเติมอากาศนั้นใช้ท่อพลาสติก PVC ขนาด 2 นิ้วในการทดลอง โดยจะมีอยู่ 3 ระดับชั้นการทดลองแต่ละชั้นจะมีความสูงต่างกัน 80 ซม. โดยแต่ละตัวจะมีวาล์วควบคุมอัตราการไหลของน้ำ โดยจะมีการควบคุมให้น้ำไหลในแต่ละชั้นและยังใช้ควบคุมอัตราการไหลของน้ำด้วย



รูปที่ 3.8 ท่อปล่อยน้ำลงสู่ภาคเติมอากาศในน้ำ

### 3.4.3 การออกแบบภาคเติมอากาศ

การออกแบบจำนวนรู โดยจะทำการออกแบบภาคเติมอากาศที่มีขนาด  $120 \times 80$  ซม. ดังรูปที่ 3.9 โดยจำนวนรูและเส้นผ่านศูนย์กลางของรูที่แตกต่างกันดังนี้

- ภาคเติมอากาศที่มีจำนวน 20 รู และเส้นผ่านศูนย์กลางของรูเท่ากับ 5 มม.
- ภาคเติมอากาศที่มีจำนวน 10 รู และเส้นผ่านศูนย์กลางของรูเท่ากับ 10 มม.
- ภาคเติมอากาศที่มีจำนวน 20 รู และเส้นผ่านศูนย์กลางของรูเท่ากับ 10 มม.
- ภาคเติมอากาศที่มีจำนวน 30 รู และเส้นผ่านศูนย์กลางของรูเท่ากับ 10 มม.



รูปที่ 3.9 ถาดเติมอากาศ

### 3.5 การทดลองหาการแลกเปลี่ยนออกซิเจนที่ระดับต่างๆ

ในการทดลองหาการแลกเปลี่ยนของออกซิเจนที่ระดับต่างๆ นี้ จะเริ่มจากการทดลองหาการแลกเปลี่ยนของอากาศที่ระดับต่างๆ โดยทำการออกแบบและสร้างชุดเครื่องมือเติมอากาศบนฝืน้ำสำหรับการทดลองและออกแบบระยะเวลาทดลองแล้ววัดผลว่าถาดเติมอากาศแบบไหนที่อัตราการแลกเปลี่ยนออกซิเจนมากที่สุด

#### 3.5.1 เครื่องมือและอุปกรณ์ที่ใช้ในการทดลอง

##### 1. เครื่องวัดปริมาณออกซิเจน

เครื่องมือที่ใช้ในการวัดปริมาณออกซิเจนละลายในน้ำคือ DO-meter เป็นเครื่องวัดลักษณะที่เป็นแบบดิจิทัล Model DO-551 ดังรูปที่ 3.10 ซึ่งจะมีความแม่นยำมากและมีความสะดวกในการใช้มาก ซึ่งเครื่องวัดนี้จะสามารถวัดปริมาณออกซิเจนได้อย่างต่อเนื่อง



รูปที่ 3.10 เครื่องวัดปริมาณออกซิเจน (DO Meter)

## 2. เครื่องวัดอัตราการไหล

เครื่องวัดอัตราการไหลนี้จะใช้วัดอัตราการไหลของน้ำไปสู่ภาคเติมอากาศเติมอากาศ เครื่องวัดอัตราการไหลที่ใช้ในการทดลองครั้งนี้ใช้ของบริษัท Nitto Model Z-4005 ซึ่งสามารถวัดอัตราการไหลตั้งแต่ 20-110 ลิตรต่อนาที โดยจะทำการปรับอัตราการไหลที่วาล์วของแต่ละชั้นการทดลองและสามารถอ่านค่าจากสเกลที่เครื่องวัดนี้ ดังรูปที่ 3.11



รูปที่ 3.11 เครื่องวัดอัตราการไหลของน้ำ



### 3.5.2 วิธีการทดลองเครื่องเติมอากาศบนผิวน้ำ

1. การทดลองนี้จะใช้แผ่นสังกะสีขนาด  $80 \times 120$  ซม. โดยจะเจาะรูขนาดเส้นผ่านศูนย์กลาง 5 มม. จำนวน 20 รู เพื่อจะทำการทดลองหาการเติมอากาศ โดยจะทำการวัดหาค่า DO ในน้ำ โดยจะทำการทดลองออกเป็น 3 กรณี

**กรณีที่ 1** ทำการสูบน้ำใส่เครื่องเติมอากาศที่เจาะรูขนาดเส้นผ่านศูนย์กลาง 5 มม. จำนวน 20 รู ที่ระดับความสูงจากพื้นผิวน้ำ 80 ซม.

**กรณีที่ 2** ทำการสูบน้ำใส่เครื่องเติมอากาศที่เจาะรูขนาดเส้นผ่านศูนย์กลาง 5 มม. จำนวน 20 รู ที่ระดับความสูงจากพื้นผิวน้ำ 160 ซม.

**กรณีที่ 3** ทำการสูบน้ำใส่เครื่องเติมอากาศที่เจาะรูขนาดเส้นผ่านศูนย์กลาง 5 มม. จำนวน 20 รู ที่ระดับความสูงจากพื้นผิวน้ำ 240 ซม.

2. การทดลองนี้จะใช้แผ่นสังกะสีขนาด  $80 \times 120$  ซม. โดยจะเจาะรูขนาดเส้นผ่านศูนย์กลาง 10 มม. แต่ลดจำนวนรูลงเหลือจำนวน 10 รู เพื่อทำการทดลองหาการเติมอากาศ โดยจะทำการวัดหาค่า DO ในน้ำ โดยจะทำการทดลองออกเป็น 3 กรณี

**กรณีที่ 1** ทำการสูบน้ำใส่เครื่องเติมอากาศที่เจาะรูขนาดเส้นผ่านศูนย์กลาง 10 มม. จำนวน 10 รู ที่ระดับความสูงจากพื้นผิวน้ำ 80 ซม.

**กรณีที่ 2** ทำการสูบน้ำใส่เครื่องเติมอากาศที่เจาะรูขนาดเส้นผ่านศูนย์กลาง 10 มม. จำนวน 10 รู ที่ระดับความสูงจากพื้นผิวน้ำ 160 ซม.

**กรณีที่ 3** ทำการสูบน้ำใส่เครื่องเติมอากาศที่เจาะรูขนาดเส้นผ่านศูนย์กลาง 10 มม. จำนวน 10 รู ที่ระดับความสูงจากพื้นผิวน้ำ 240 ซม.

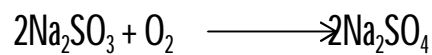
3. การทดลองนี้จะใช้แผ่นสังกะสีขนาด  $80 \times 120$  ซม. โดยจะเจาะรูขนาดเส้นผ่านศูนย์กลาง 10 มม. จำนวน 10 รู เพื่อจะทำการทดลองหาการเติมอากาศ โดยจะทำการวัดหาค่า DO ในน้ำ โดยแบ่งการทดลองออกเป็น 3 กรณี

**กรณีที่ 1** ทำการสูบน้ำใส่เครื่องเติมอากาศที่เจาะรูขนาดเส้นผ่านศูนย์กลาง 10 มม. จำนวน 10 รู ที่ระดับความสูงจากพื้นผิวน้ำ 160 ซม.

**กรณีที่ 2** ทำการสูบน้ำใส่เครื่องเติมอากาศที่เจาะรูขนาดเส้นผ่านศูนย์กลาง 10 มม. จำนวน 20 รู ที่ระดับความสูงจากพื้นผิวน้ำ 160 ซม.

**กรณีที่ 3** ทำการสูบน้ำใส่เครื่องเติมอากาศที่เจาะรูขนาดเส้นผ่านศูนย์กลาง 10 มม. จำนวน 30 รู ที่ระดับความสูงจากพื้นผิวน้ำ 160 ซม.

ภาคเติมอากาศแต่ละชุดจะถูกนำไปทดลองทีละชุด และก่อนการทดลองในแต่ละครั้งนั้นต้องมีการเตรียมน้ำเพื่อทำการทดลองเสมอ โดยน้ำในถังมีปริมาตร 697 liters แล้ววัดค่าความเข้มข้นของปริมาณออกซิเจนที่ละลายอยู่น้ำ แล้วนำค่าที่ได้ทั้งออกซิเจนและปริมาณน้ำไปคำนวณหาปริมาณ  $\text{Na}_2\text{SO}_3$  ที่จะเติมลงในน้ำจนทำให้ออกซิเจนในน้ำเป็นศูนย์ ตามสมการเคมี



หลังจากที่คำนวณหาค่าปริมาณ  $\text{Na}_2\text{SO}_3$  ตามปริมาณของน้ำและปริมาณออกซิเจนที่ละลายในน้ำ กวนน้ำกับ  $\text{Na}_2\text{SO}_3$  จนกระทั่งสารเคมีละลายจนหมด และทิ้งสารเคมีไว้ประมาณ 20 นาที แล้ววัดค่าปริมาณออกซิเจนอีกครั้ง เมื่อน้ำในถังมีค่าเท่ากับ 0 หรือ ใกล้เคียง แสดงว่าน้ำนั้นสามารถนำมาทดลองได้ หลังจากเตรียมน้ำเสร็จก็ทำการบันทึกอุณหภูมิ น้ำ ค่าปริมาณออกซิเจนที่ละลายน้ำก่อนการเติมอากาศ หลังจากนั้นก็เปิดปั๊มเติมอากาศและวัดปริมาณออกซิเจนที่ละลายน้ำทุกๆ 10 นาที จนกระทั่งน้ำที่ทำการวัดถึงจุดอิ่มตัว



**รูปที่ 3.14** น้ำไหลลงจากภาคเติมอากาศขณะทำการทดลอง

หลังจากที่ทำการทดลองชุดแรกเสร็จแล้ว การทดลองครั้งต่อไปต้องทำการเตรียมน้ำใหม่อีกครั้ง โดยทำการทดลองอย่างนี้โดยเปลี่ยนภาคการทดลองและระยะความสูง

### 3.6 การออกแบบระบบเซลล์แสงอาทิตย์ให้เหมาะสมกับระบบที่ต้องการ

ในงานวิจัยนี้ได้มีการออกแบบเซลล์แสงอาทิตย์เป็นแบบต่อตรงเพื่อทำการปั้มน้ำที่มีเชื้อแบคทีเรียผ่านรีแอกเตอร์ในารรวมแสงรูปประกอบพาราโบลา โดยมีรายละเอียดดังนี้

#### 3.6.1 การประเมินความต้องการน้ำ

การประเมินความต้องการน้ำสำหรับระบบนั้นมีลักษณะที่แตกต่างกันออกไป แต่ในงานวิจัยนี้ได้กำหนดอัตราการไหลที่ 2 L/min ในการทดลอง

#### 3.6.2 คำนวณพลังงานส่งน้ำที่ต้องการ

เมื่อทราบปริมาณความต้องการการใช้น้ำแล้ว ขั้นตอนต่อมาคือการคำนวณหาพลังงานในการส่งน้ำ ดังสมการที่ 3.4

$$E_h = \rho g V_h H \quad (3.4)$$

เมื่อ

$E_h$	=	พลังงานในการส่งน้ำ, (J)
$V_h$	=	ปริมาณน้ำ, ( $m^3$ )
$H$	=	ระยะเหตรวม, (m)
$\rho$	=	ความหนาแน่นของน้ำ ( $1000 \text{ kg/m}^3$ )
$g$	=	ความเร่งเนื่องจากแรงโน้มถ่วงของโลก

#### 3.6.3 หาค่าเฉลี่ยพลังงานรังสีอาทิตย์เฉลี่ยรายเดือนของสถานที่ทดลอง

ในการออกแบบระบบสูบน้ำด้วยเซลล์แสงอาทิตย์จะใช้ข้อมูลรังสีอาทิตย์ในแต่ละเดือนซึ่งได้มาจากค่าของการรวมรังสีรายวัน ข้อมูลที่ใช้ควรมีความสอดคล้องกับสถานที่ที่ทำการทดลอง ค่ารังสีอาทิตย์บนพื้นเอียงนั้นจะมีความแตกต่างจากรังสีที่ตกกระทบลงพื้นราบ ค่ารังสีอาทิตย์ที่ใช้ในการประมาณขนาดของเซลล์แสงอาทิตย์นั้นเป็นรังสีที่ตกกระทบบนพื้นเอียง จึงต้องมีการปรับค่ารังสีอาทิตย์บนพื้นราบให้เป็นค่ารังสีบนพื้นเอียง โดยใช้ตัวคูณในการปรับค่า นั่นก็คือ แฟกเตอร์มุมเอียง

### 3.6.4 กำหนดหาขนาดของมอเตอร์ปั๊ม

ขั้นตอนการกำหนดหาขนาดของระบบสูบน้ำด้วยเซลล์แสงอาทิตย์มีดังนี้

#### ขั้นตอนที่ 1 หาขนาดของแผงเซลล์แสงอาทิตย์

พลังงานไฟฟ้าที่ต้องการจากเซลล์แสงอาทิตย์หาได้จาก พลังงานที่ต้องการส่งน้ำต่อประสิทธิภาพทางพลังงานรายวันเฉลี่ยของชุดมอเตอร์/ปั๊ม โดยกำลังไฟฟ้าที่ออกจากแผงเซลล์แสงอาทิตย์ขึ้นอยู่กับองค์ประกอบ 3 ประการ คือ

1. รังสีอาทิตย์ที่ตกกระทบบนแผงเซลล์แสงอาทิตย์
2. อุณหภูมิเฉลี่ยของเซลล์แสงอาทิตย์ ซึ่งก็จะขึ้นอยู่กับบรรยากาศ และความเข้มของรังสีอาทิตย์
3. ค่าความต้านทานทางภาระไฟฟ้า จุดการทำงานของเซลล์แสงอาทิตย์นั้นจะอยู่บนกราฟความสัมพันธ์ระหว่างกระแสและแรงดัน กำลังไฟฟ้าจากเซลล์แสงอาทิตย์จะมีค่าสูงสุด ณ จุดกำลังสูงสุด

ภายใต้สภาวะการใช้งานจริง เมื่อพลังงานรังสีอาทิตย์ตกกระทบบนแผงเซลล์แสงอาทิตย์ กำลังไฟฟ้าที่ได้จะมีค่าน้อยกว่าพิกัดกำลังไฟฟ้าที่สภาวะการทดสอบมาตรฐาน เนื่องจากเป็นผลของอุณหภูมิและค่าความต้านทานทางภาระทางไฟฟ้า ดังนั้นจึงควรมีการกำหนดหาขนาดของแผงเซลล์แสงอาทิตย์จึงต้องมีการเผื่อให้มีขนาดที่เหมาะสมโดยการคูณกับแฟกเตอร์ โดยจะรวมถึงประสิทธิภาพที่ลดลงเนื่องจากเซลล์แสงอาทิตย์ไม่ได้ใช้งานที่สภาวะมาตรฐาน

#### ขั้นตอนที่ 2 หาขนาดของมอเตอร์

ขนาดของมอเตอร์ที่เลือกนั้นต้องสามารถทนต่อแรงดันสูงสุดของแผงเซลล์แสงอาทิตย์ได้ พิกัดกำลังไฟฟ้าของชุดเซลล์แสงอาทิตย์ต้องมากกว่าหรือเท่ากับพิกัดกำลังไฟฟ้าสูงสุดของมอเตอร์

#### ขั้นตอนที่ 3 การหาขนาดของปั๊มสูบน้ำ

กำลังงานของการส่งน้ำหาได้จากกำลังไฟฟ้าสูงสุดของชุดแผงเซลล์แสงอาทิตย์กับประสิทธิภาพกำลังสูงสุดของมอเตอร์ปั๊ม ดังสมการที่ 3.5

$$\begin{aligned}
 P_h &= W_D \eta_m & (3.5) \\
 \text{เมื่อ } P_h &= \text{กำลังงานในการส่งน้ำสูงสุด, (W)} \\
 W_D &= \text{กำลังไฟฟ้าสูงสุดของชุดแผงเซลล์แสงอาทิตย์, (W)} \\
 \eta_m &= \text{ประสิทธิภาพทางกำลังสูงสุดของชุดมอเตอร์ปั๊ม}
 \end{aligned}$$

หลังจากนั้นก็ทำการคำนวณหาค่ากำลังไฟฟ้าสูงสุด โดยใช้สมการความสัมพันธ์ของกำลังงานในการส่งน้ำ กับอัตราการไหลของน้ำและระยะเสด ดังสมการที่ 3.6

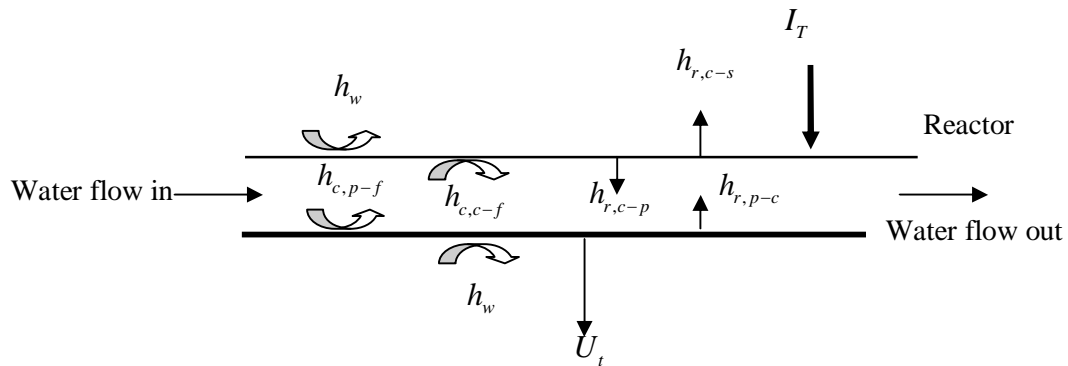
$$P_h = \frac{\rho g Q_D H}{3600} \quad (3.6)$$

เมื่อ	$Q_D$	=	อัตราการไหลของน้ำสูงสุด, ( $m^3/hr$ )
	$P_h$	=	กำลังงานในการส่งน้ำสูงสุด, (W)
	$\rho$	=	ความหนาแน่นของน้ำ, ( $1000 \text{ kg/m}^3$ )
	$g$	=	ความเร่งเนื่องจากแรงโน้มถ่วงของโลก ( $9.81 \text{ m/s}^2$ )
	$H$	=	ระยะเสดรวม, (m)

#### ขั้นตอนที่ 4 หาขนาดของท่อ

คำนวณอัตราการไหลที่ได้แล้วนำไปหาขนาดของท่อ โดยจะมีการกำหนดค่าของความสูญเสียเสดในท่อต่อความยาวของท่อ (โดยทั่วไปจะสมมติให้มีค่า 10% ของระยะเสดสถิตย์)

### 3.7 แบบจำลองทางคณิตศาสตร์สำหรับทำนายระบบทำน้ำร้อน



รูปที่ 3.15 การสมดุลสมการความร้อนของรีแอกเตอร์

ความร้อนของกระเจกด้านบนรีแอกเตอร์ที่เปลี่ยนแปลงไปในช่วงเวลา  $\Delta t$

- = ความร้อนจากการพาความร้อนที่ได้จากน้ำในรีแอกเตอร์
- + ความร้อนจากการแผ่รังสีระหว่างแผ่นฉนวนกับกระเจกด้านบนรีแอกเตอร์
- + ความร้อนที่สูญเสียไปจากการพาความร้อนเนื่องจากลม

- + ความร้อนเนื่องจากการแผ่รังสีให้กับท้องฟ้า
- + รังสีอาทิตย์ที่ถูกดูดไว้ด้วยแผ่นดูดกลืน

แทนค่าในแต่ละเทอมนำไปเขียนสมการ ได้ดังนี้

$$\begin{aligned} \rho_c \delta_c \Delta x W C_{p,c} \left( T_c + \frac{dT_c}{dt} \Delta t \right) - \rho_c \delta_c \Delta x W C_{p,c} T_c = \\ h_{c,f-c} \Delta x W (T_f - T_c) \Delta t + h_{r,p-c} \Delta x W (T_p - T_c) \Delta t \\ + h_w \Delta x W (T_{amb} - T_c) \Delta t + h_{r,c-s} \Delta x W (T_{sky} - T_c) \Delta t + \alpha_c I_T \Delta x W \Delta t \end{aligned} \quad (3.7)$$

นำมาจัดรูปสมการใหม่ได้เป็น

$$\rho_c \delta_c C_{p,c} \frac{dT_c}{dt} = h_{c,f-c} (T_f - T_c) + h_{r,p-c} (T_p - T_c) + h_w (T_{amb} - T_c) + h_{r,c-s} (T_{sky} - T_c) + \alpha_c I_T \quad (3.8)$$

โดยที่

- $\rho_c$  คือ ความหนาแน่นของแผ่นปิดใส,  $\text{kg/m}^2$
- $\delta_c$  คือ ความหนาของแผ่นปิดใส, m
- $C_{p,c}$  คือ ความจุความร้อนจำเพาะของแผ่นปิดใส,  $\text{J/kg K}$
- $T_c$  คือ อุณหภูมิของแผ่นปิดใส, K
- $T_f$  คือ อุณหภูมิของน้ำภายในรีแอกเตอร์, K
- $T_p$  คือ อุณหภูมิของแผ่นดูดกลืนรังสี, K
- $T_{amb}$  คือ อุณหภูมิอากาศแวดล้อม, K
- $T_{sky}$  คือ อุณหภูมิท้องฟ้า, K
- $h_{c,f-c}$  คือ สัมประสิทธิ์การพาความร้อนระหว่างแผ่นปิดใสกับน้ำในรีแอกเตอร์,  $\text{W/m}^2 \text{K}$
- $h_{r,p-c}$  คือ สัมประสิทธิ์การแผ่รังสีระหว่างแผ่นดูดกลืนรังสีกับแผ่นปิดใส,  $\text{W/m}^2 \text{K}$
- $h_{r,c-s}$  คือ สัมประสิทธิ์การแผ่รังสีระหว่างแผ่นปิดใสกับท้องฟ้า,  $\text{W/m}^2 \text{K}$
- $h_w$  คือ สัมประสิทธิ์การสูญเสียความร้อนเนื่องจากลม,  $\text{W/m}^2 \text{K}$
- $\alpha_c$  คือ สัมประสิทธิ์การดูดกลืนรังสีของแผ่นปิดใส
- $I_T$  คือ ความเข้มรังสีอาทิตย์ที่เวลาใดๆ,  $\text{W/m}^2$

สมการสมดุลพลังงานของอากาศภายในรีแอกเตอร์

$$\text{จากสมการสมดุลพลังงาน } Q - (W_b + W_{other}) = \Delta U + \Delta KE + \Delta PE \quad (3.9)$$

1. มีสมมุติฐานดังนี้
2. ระบบไม่มีการเคลื่อนที่
3. ระบบมีความดันคงที่
4. ไม่มีงานป้อนเข้าสู่ระบบ

จากสมมุติฐานนั้นสามารถนำมาจัดรูปสมการใหม่ได้ดังนี้

$$Q - W_b = \Delta U \quad (3.10)$$

$$Q = W_b + \Delta U = \Delta H = H_2 - H_1 = \dot{m}(h_2 - h_1) = \dot{m}C_p(T_2 - T_1) \quad (3.11)$$

โดยจะได้ความร้อนของอากาศที่เปลี่ยนแปลงไปในช่วงเวลา  $\Delta t$  ในระยะ  $\Delta x$

= ความร้อนที่ได้จากการพาความร้อนที่ได้จากแผ่นกระจกใส  
+ ความร้อนจากการพาความร้อนที่ได้จากแผ่นฉนวนกันรังสี

แทนค่าในแต่ละเทอมโดยสามารถเขียนเป็นสมการได้ดังต่อไปนี้

$$\begin{aligned} DGW(C_{p,f} + C_{p,v}) \left[ T_f + \frac{dT_f}{dx} \Delta x \Delta t \right] - DGW(C_{p,f} + C_{p,v}) T_f \\ = h_{c,c-f} \Delta x W (T_c - T_f) \Delta t + h_{c,p-f} \Delta W (T_p - T_f) \Delta t \end{aligned} \quad (3.12)$$

โดยสมมุติฐานให้มวลของน้ำในอากาศมีค่าน้อยมาก ทำให้  $C_{p,v} \cong 0$

$$\dot{m} = DGW$$

สามารถนำมาจัดรูปสมการใหม่ได้ดังนี้

$$DGC_{p,f} \frac{dT_f}{dx} = h_{c,c-f} (T_c - T_f) + h_{c,p-f} (T_p - T_f) \quad (3.13)$$

โดยที่

$D$  คือ ความหนาของอากาศภายในตัวทำอากาศร้อน, m

$G$  คือ อัตราการไหลต่อพื้นที่ของอากาศภายในรีแอกเตอร์,  $\text{kg/m}^2 \text{ s}$

$C_{p,f}$  คือ ความจุความร้อนจำเพาะของอากาศภายในรีแอกเตอร์,  $\text{J/kg K}$

$h_{c,c-f}$  คือ สัมประสิทธิ์การพาความร้อนระหว่างแผ่นปิดใสกับน้ำในรีแอกเตอร์,  $\text{W/m}^2 \text{ K}$

$h_{c,p-f}$  คือ สัมประสิทธิ์การพาความร้อนระหว่างแผ่นฉนวนกันรังสีกับน้ำในรีแอกเตอร์,  $\text{W/m}^2 \text{ K}$

### 3.7.1 สมการสมดุลพลังงานของพื้นกระจกที่ดูดกลืนรังสี

ความร้อนของพื้นกระจกที่เปลี่ยนแปลงไปในช่วงเวลา  $\Delta t$

$$\begin{aligned}
 &= \text{ความร้อนจากการพาความร้อนไปสู่} \text{น้ำ} \\
 &+ \text{ความร้อนจากการแผ่รังสีระหว่างแผ่นปิดใสกับแผ่นดูดกลืนรังสี} \\
 &+ \text{ความร้อนที่สูญเสียจากการนำความร้อนผ่านฉนวน} \\
 &+ \text{รังสีอาทิตย์ที่ถูดูดกลืน}
 \end{aligned}$$

แทนค่าแต่ละเทอมจะสามารถเขียนเป็นสมการต่อไปนี้

$$\begin{aligned}
 &\rho_p \delta_p \Delta x W C_{p,p} \left( T_p + \frac{dT_p}{dT} \Delta X \right) - \rho_p \delta_p \Delta x W C_{p,p} T_p \\
 &= h_{c,f-p} \Delta x W (T_f - T_p) \Delta t + h_{r,c-p} \Delta x W (T_c - T_p) \Delta t \\
 &+ U_t \Delta x W (T_{amb} - T_p) \Delta t + \Delta x W \tau_c \alpha_p I_T \Delta t
 \end{aligned} \tag{3.14}$$

จัดรูปสมการใหม่ได้เป็น

$$\rho_p \delta_p C_{p,p} \frac{dT_p}{dt} = h_{c,f-p} (T_f - T_p) + h_{r,c-p} (T_c - T_p) + U_t (T_{amb} - T_p) + \tau_c \alpha_p I_T \tag{3.15}$$

โดยที่

- $\rho_p$  คือ ความหนาแน่นของแผ่นดูดกลืนรังสี,  $\text{kg/m}^3$
- $\delta_p$  คือ ความหนาของแผ่นดูดกลืนรังสี,  $\text{m}$
- $C_{p,p}$  คือ ความจุความร้อนจำเพาะของแผ่นดูดกลืนรังสี,  $\text{J/kg K}$
- $h_{c,f-p}$  คือ สัมประสิทธิ์การพาความร้อนระหว่างแผ่นดูดกลืนรังสีกับน้ำในรีแอกเตอร์,  $\text{W/m}^2 \text{K}$
- $h_{r,c-p}$  คือ สัมประสิทธิ์การแผ่รังสีระหว่างแผ่นดูดกลืนรังสีกับแผ่นปิดใส,  $\text{W/m}^2 \text{K}$
- $U_t$  คือ สัมประสิทธิ์การสูญเสียความร้อนที่ฉนวนด้านล่าง,  $\text{W/m}^2 \text{K}$
- $\tau_c$  คือ สัมประสิทธิ์การส่งผ่านรังสีของแผ่นปิดใส,  $\text{W/m}^2 \text{K}$
- $\alpha_p$  คือ สัมประสิทธิ์การดูดกลืนรังสีของแผ่นดูดกลืนรังสี

- การหาค่าสัมประสิทธิ์การถ่ายเทความร้อน

สัมประสิทธิ์การแผ่รังสีจากแผ่นปิดใสไปยังท้องฟ้าหาได้จากสมการ

$$h_{r,c-s} = \varepsilon_c \sigma (T_c^2 + T_s^2) (T_c + T_s) \tag{3.16}$$

โดยที่

$\varepsilon_c$  คือ สัมประสิทธิ์การแผ่รังสีของแผ่นปิดไอ

$\sigma$  คือ ค่าคงที่สเตฟานโบลต์ซมานน์ (Stefan-Boltzmann's constant)

$$\text{โดยอุณหภูมิห้องฟ้าสามารถหาได้จาก } T_s = 0.552T_a^{1.5} \quad (3.17)$$

สัมประสิทธิ์การแผ่รังสีจากแผ่นฉูดกลืนรังสีไปยังแผ่นปิดไอหาได้จาก

$$h_{r,p-c} = \frac{\sigma(T_p^2 + T_c^2)(T_p + T_c)}{\frac{1}{\varepsilon_p} + \frac{1}{\varepsilon_c} - 1} \quad (3.18)$$

โดยที่  $\varepsilon_p$  คือ สัมประสิทธิ์การแผ่รังสีของแผ่นฉูดกลืน

สัมประสิทธิ์การพาความร้อนจากแผ่นปิดไอไปยังอากาศแวดล้อม

$$h_w = 5.7 + 3.8V \quad (3.19)$$

โดยที่  $V$  คือ ความเร็วลม, m/s

สัมประสิทธิ์การพาความร้อนจากแผ่นปิดไอและแผ่นฉูดกลืนรังสีไปยังน้ำภายในรีแอกเตอร์สำหรับแผ่น  
ราวที่ด้านหนึ่งหุ้มฉนวนและอีกด้านหนึ่งมีอัตราความร้อนคงที่

$$Nu = Nu_\infty + \frac{a(\text{Re Pr } D_h / L)^m}{1 + b(\text{Re Pr } D_h / L)^n} \quad (3.20)$$

โดยค่าคงที่  $a$ ,  $b$ ,  $m$  และ  $n$  ดูจากตารางที่ 3.2

ตารางที่ 3.2 ค่าคงที่ a, b, m และ n ที่ใช้ในสมการที่ 3.20

Pr	A	b	m	n
0.7	0.00190	0.00563	1.71	1.17
1.0	0.00041	0.00156	2.12	1.59
$\infty$	0.00021	0.00060	2.24	1.77

\*หมายเหตุ  $Nu_{\infty} = 5.4$

เมื่อ 
$$D_h = \frac{4WD}{2(W+D)} \quad (3.21)$$

เมื่อ Re คือ ค่า Reynolds number ซึ่งหาได้จากสมการ

$$Re = \frac{\rho V D_h}{\mu} \quad (3.22)$$

โดยที่

$D_h$  คือ ค่า hydraulic diameter, m

$k$  คือ สภาพการนำความร้อนของอากาศ, W/m K

$x$  คือ ระยะที่พิจารณา, m

$W$  คือ ความกว้างของแผงรับรังสี, m

$D$  คือ ความหนาของอากาศภายในตัวทำอากาศร้อน, m

$V$  คือ ความเร็วของอากาศภายในตัวทำอากาศร้อน, m/s

$\rho$  คือ ความหนาแน่นของอากาศ, kg/m<sup>3</sup>

$\mu$  คือ Viscosity ของอากาศ, kg/ m s

สัมประสิทธิ์การสูญเสียความร้อนด้านล่าง หาได้จากสมการ

$$U_b = \frac{1}{\sum_{i=1}^n \frac{X_{bi}}{k_{bi}} + \frac{1}{h_w}} \quad (3.23)$$

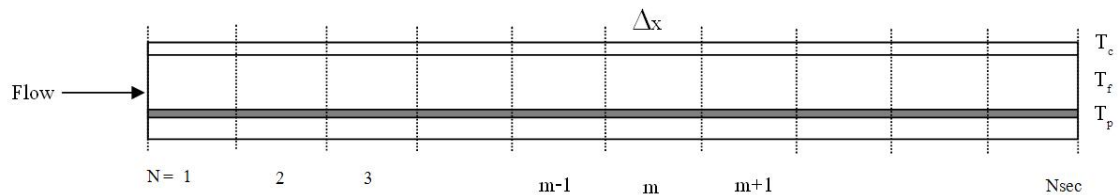
โดยที่

$k_{bi}$  คือ ค่าสภาพการนำความร้อนของฉนวน, W/m K

$X_{pi}$  คือ ความหนาของแผ่นฉนวน, m

### 3.7.2 การหาผลเฉลยของสมการแบบจำลอง

การพิจารณาหาผลเฉลยของสมการที่ ด้วย Finite Difference Method โดยเริ่มพิจารณาการแบ่งตัวทำอากาศร้อนเป็นช่วงเล็กๆ ระยะห่างเท่ากับ  $\Delta x$  ดังแสดงในรูปที่ 3.16



รูปที่ 3.16 การแบ่งองค์ประกอบของตัวทำอากาศร้อนเป็นส่วนย่อย

จากสมการที่ (3.8) แก้สมการ โดยใช้ Explicit Finite Different Method จะได้

$$\rho_c \delta_c C_{p,c} \frac{T_{c,m}^{i+1} - T_{c,m}^i}{\Delta t} = h_{c,f-c} (T_{f,m}^i - T_{c,m}^i) + h_{r,p-c} (T_{p,m}^i - T_{c,m}^i) + h_w (T_{a,m}^i - T_{c,m}^i) + h_{r,c-s} (T_{s,m}^i - T_{c,m}^i) + \alpha_c I_t^i \quad (3.24)$$

นำมาจัดรูปใหม่จะได้

$$T_{c,m}^{i+1} = \frac{\Delta t}{\rho_c \delta_c C_{p,c}} \left[ \left( \frac{\rho_c \delta_c C_{p,c}}{\Delta t} - h_{c,f-c} - h_{r,p-c} - h_w - h_{r,c-s} \right) T_{c,m}^i + h_{c,c-f} T_{f,m}^i + h_{r,p-c} T_{p,m}^i + h_w T_{a,m}^i + h_{r,c-s} T_{s,m}^i + \alpha_c I_t^i \right] \quad (3.25)$$

จากสมการที่ (3.13) จะได้

$$\text{พิจารณาที่ } \frac{dT_f}{dx} \text{ โดยใช้ Backward Difference คือ } y'_m = \frac{y_m - y_{m-1}}{h} \quad (3.26)$$

โดย  $m$  คือ ตำแหน่งของ node ที่  $m$   
 $h$  คือ ระยะห่างระหว่าง node

แก้สมการโดยใช้ Explicit Finite Different Method จะได้

$$DGC_{p,f} \frac{T_{f,m}^i - T_{f,m-1}^i}{\Delta x} = h_{c,c-f} (T_{c,m}^i - T_{f,m}^i) + h_{c,p-f} (T_{p,m}^i - T_{f,m}^i) \quad (3.27)$$

จัดรูปใหม่จะได้

$$T_{f,m}^i = \frac{1}{\left(\frac{DGC_{p,f}}{\Delta x}\right)} \left( \frac{DGC_{p,f}}{\Delta x} T_{f,m-1}^i + h_{c,c-f} T_{c,m}^i + h_{c,p-f} T_{p,m}^i \right) \quad (3.28)$$

จากสมการที่ (3.15) แก้สมการโดยใช้ Explicit Finite Different Method จะได้

$$\rho_p \delta_p C_{p,p} \frac{T_{p,m}^{i+1} - T_{p,m}^i}{\Delta t} = h_{c,f-p} (T_{f,m}^i - T_{p,m}^i) + h_{r,c-p} (T_{c,m}^i - T_{p,m}^i) + U_b (T_{a,m}^i - T_{b,m}^i) + \tau_c \alpha_p I_T^i \quad (3.29)$$

จัดรูปใหม่จะได้

$$T_{p,m}^{i+1} = \frac{\Delta t}{\rho_p \delta_p C_{p,p}} \left[ \left( \frac{\rho_p \delta_p C_{p,p}}{\Delta t} - h_{c,f-p} - h_{r,c-p} - U_b \right) T_{p,m}^i + h_{c,f-p} T_{f,m}^i + h_{r,c-p} T_{c,m}^i + U_b T_{a,m}^i + \tau_c \alpha_p I_T^i \right] \quad (3.30)$$

จากสมการที่ (3.24), (3.27) และ (3.29) จะสามารถหาผลเฉลยของสมการได้แก่ ค่า  $T_c$ ,  $T_f$  และ  $T_p$  ที่เวลา  $i+1$  ในช่วงความยาวใดๆ ได้ เงื่อนไขตั้งต้นในการคำนวณ คือ ที่เวลาเริ่มต้น  $t=0$  กำหนดให้แต่ละส่วนมีอุณหภูมิเท่ากับอากาศแวดล้อมและอุณหภูมิอากาศก่อนเข้าสู่ตัวทำอากาศร้อนกับอุณหภูมิในตำแหน่ง  $N=1$  มีค่าเท่ากัน